研究报告

垃圾焚烧飞灰中的氯化二苯并二噁**喽** 和氯化二苯并呋喃的分析

康 君 行

Barry Ali

(中国科学院环境化学研究所)

(Laboratory Services Branch, Ontario Ministry of the Environment, Canada)

由于氯化二苯并二噁暎(Polychlorinated dibenzo-p-dioxins, PCDD) 和氯化二苯并呋喃 (Polychlorinated dibenzofuran, PCDF) 的某些异构体具有极高的毒性,如2,3,7,8-T,CDD 系迄今所发现的毒性最高的化合物,同时这两类化合物作为某些化学产品 (PCB、2、4-D、2,4,5-T 和五氯酚等)的杂质和副产物,或作为燃烧产物而广泛地进人环境。 它们已引起各国环境科学家的注意,目前在世界范围内正在开展对 PCDD 和 PCDF 的分析方法,环境行为和效应的研究^[11]。

焚烧(incineration)是很多发达国家用于处理城市垃圾的方法。垃圾内含有大量的芳香有机物和含氯有机物,在焚烧过程中,它们形成了 PCDD 和 PCDF 以及其他化合物。 因此城市垃圾焚烧是环境中 PCDD 和 PCDF 的重要来源之一。分析监测城市垃圾焚烧产物(包括飞灰,烟气,降尘等)中的PCDD 和 PCDF 是研究它们的来源及其对环境影响的重要内容之一。 自1977年 K. Olie 等人[2]在荷兰阿姆斯特丹城市垃圾焚烧的飞灰(Fly ash)中发现氯化二苯并二噁 嘆以来,诸多的环境化学家对城市垃圾焚烧

产物进行了测定和研究[3-5]。

本工作建立了城市垃圾焚烧飞灰中的PCDD和PCDF的分析方法。方法采用了一系列的提取和净化步骤,有效地去除了干扰杂质;采用GC/MS-SIM测定PCDD和PCDF,并结合高倍数的浓缩技术,使检测灵敏度提高;方法中采取了一系列质量控制措施,使分析结果可靠。方法已用于环境样品的测定。

一、实 验

(一) 试剂

- 1. 净化层析柱吸附剂
- (1) 硅胶 100/200mesh, Bio-SiLA, Bio-Rad Laboratories。

将硅胶 装入 Ø3cm × 80cm 的 玻璃柱管,在管式加热器中,180℃下通氮加热 0.5h;冷却至室温后,用 150ml 甲醇和 150ml 二氯甲烷淋洗柱中硅胶;再在 50℃ 下通氮 加热 0.5h 后,升温至 180℃,加热 90min。冷却后装入清洁、干燥的瓶中,放于干燥器内保存。

(2) 10% 硝酸银-硅胶 称 6.0g 的 AgNO₃溶于23ml的去离子水中,在磨口具塞锥形瓶中称量53.0g的活化硅胶。将 AgNO₃

水溶液加入,摇动锥形瓶令 $AgNO_3$ 水溶液与硅胶混合均匀,直至得到自由流动的粉末。用铝箔包裹锥形瓶后,室温下放置 $30 \, \text{min}$;然后将粉末装入玻璃柱管中,在管式加热器中 $70 \, \text{℃下通氮加热 5h}$;再升温至 $125 \, \text{℃}$,加热 $15 \, \text{h}$ 。冷却后,装人棕色瓶中,放于干燥器内保存。

- (3) 44% 硫酸-硅胶 在 250ml 磨口具 塞锥形瓶中称 42.0g 活化硅胶,缓慢加入 33g 浓硫酸,摇动锥形瓶,直至形成自由流动的粉末,放入干燥器中保存。
- (4) 33%1mol 氢氧化钠-硅胶 在锥形瓶中,称一定量的硅胶,然后按 33% 重量比,称出浓度为1mol 的氢氧化钠水溶液。 将NaOH 水溶液缓缓加入硅胶,摇动锥形瓶直至得到自由流动的粉末,放于干燥器中保存。
- (5) 碱性氧化铝 100/200mesh, AG-10, Bio-Rad Laboratories。 将适量碱性氧化铝装入玻璃柱管中,在 300℃下通氮加热 1h, 冷却后用 150ml 二氯甲烷淋洗,然后 50℃下通氮加热 0.5h; 升温至 180℃下加热 30min后,再升温至 300℃ 下加热 90min, 冷却后装瓶放入干燥器内备用。
- 2. 二氯甲烷、己烷、异辛烷、丙酮、四氯化碳, 去离子水等均为 HPLC 级; AgNO₃, NaOH 为试剂纯。

3. PCDD 和 PCDF 标准样品

T,CDF, ¹³C—T,CDD, T,CDD, P,CDF, P,CDD, H₆CDF, H₆CDD, ¹³C-H₆CDD, H₇CDF, H₇CDD, O₈CDF, O₈CDD 和 ¹³C-O₈CDD。(其中 CDF 代表氯化二苯并呋喃,CDD 表示氯化二苯并二噁暎,T₄、P₅、H₆、H₇、O₈分别表示分子中氯原子的个数——四、五、六、七、八)Cambridge Isotope Laboratories, Inc. and Radian Corporation, MA,USA₀

4. 玻璃器皿

全部玻璃器皿必须仔细清洗,并用丙酮、二氯甲烷和己烷淋洗多次,最后的己烷淋洗液浓缩后经 GC/MS 测定证明无干扰。

(二) 样品的预处理

称 10g 用静电聚尘器(Electrostatic Precipitator) 收集的垃圾焚烧所产生的飞灰,装入玻璃纤维布袋中,加入作为内标的 ¹³C-T,CDD 和 ¹³C-O₈CDD 的异辛烷溶液 (加入量 ¹³C-2,3,7,8-T,CDD 为 2000pg; ¹³C-O₈CDD 为 4000pg),放入索氏提取器中,用 200ml 甲苯提取 $16h_o$ 用旋转蒸发器浓缩提取液至 $5ml_o$

提取液的净化体系由两支层析 柱 构 成, 如图 1 所示。

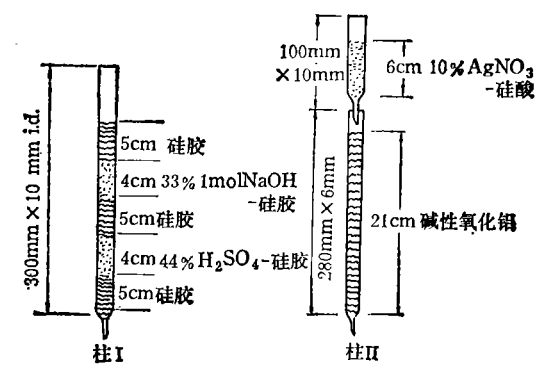


图 1 净化层析柱

用 50ml 己烷预洗柱 I 后,将样品提取液转移至柱 I 中,用 100ml 己烷洗脱柱 I,收集此己烷洗脱液,浓缩至 1—2ml。转移此浓缩后的样品溶液至柱 II 中。 先用 100ml 己烷洗脱柱 II,并弃去此洗脱液。 移去顶端的 AgNO3-硅胶柱后,依次用 20ml 10% CCl₄/己烷,20ml 己烷和 45ml 二氯甲烷洗脱氧化铝柱。收集二氯甲烷洗脱液,加入 2ml 异辛烷做保持剂(keeper),用缓和氮气流汽化至1ml。最后用少量异辛烷在加热挥发下将此样品溶液转移至 100μl 锥形样品瓶中,待GC/MS 测定。

(三) GC/MS 测定

Finnigan 4000 型色谱-质谱 联机用于 PCDD 和 PCDF 的测定。仪器配有 Tektronic 4010-1 型终端和 printronix 打印机。气相色谱柱为 30m × 0.25mm *i.d.* 的 DB-5 融熔石英毛细管柱; Grob-type 毛细管无分流

进样器用于进样。温度程序为:初温80℃, 保持 2min; 80-250℃, 升温速率 为 15℃/ min; 250-300℃, 升温速率为5℃/min; 300℃ 保持 5min。质谱仪工作在选择离子监 测 (SIM) 方式。各 PCDD 和 PCDF 的监 测的特征离子如下: T,CDD-259, 320, 322, 324; C-T, CDD-332, 334; P, CDD-293, 354, 356, 358; H₆CDD-327, 388, 390, 392; H₂CDD-361, 422, 424, 426; O₈CDD-395, 458, 460, 462; ¹³C-O₈CDD-470, 472; T₄ CDF-243, 304, 306, 308; P₅CDF-277, 338, 340, 342; H₆CDF-311, 372, 374, 376; $H_7CDF-345$, 406, 408, 410; $O_8CDD-379$, 442, 444, 446。图 2 和图 3 分别为此操作条 件下的标准溶液的总离子色谱图和 2, 3, 7, 8-T₄CDD 的多离子检测质量色谱图。

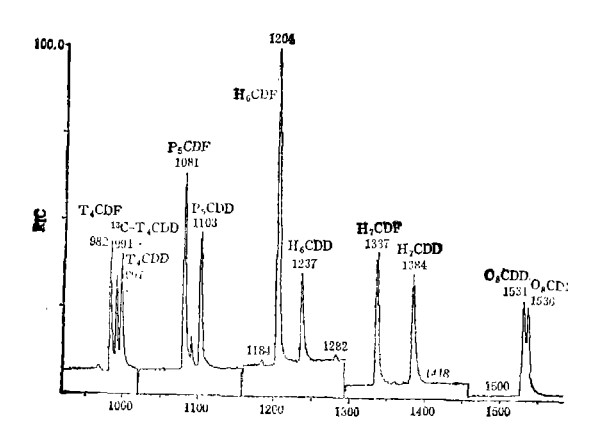


图 2 PCDU和 PCDF 混合标准溶液的总离子色谱图

为进行 GC/MS 测定,用缓和氮气流将 锥形样品瓶内的样品溶液汽化至干,然后注 入 10 μl "进样标准溶液" (『C-H₆CDD 的异 辛烷溶液),令残渣溶解完全; 进样 1 μl。进 样标准的作用在于监视进样的成功和仪器的 正常工作状态以产生可靠的数据。

下面公式用于计算样品中的 PCDD 和 PCDF 的浓度:

$$C(s) = \frac{V_{\text{sam}}}{V_{\text{inj}}} \times \frac{A_{\text{sam}}}{A_{\text{std}}} \times \frac{W_{\text{std}}}{W_{\text{sam}}} \times 10^{-3} \text{(ppb)}$$

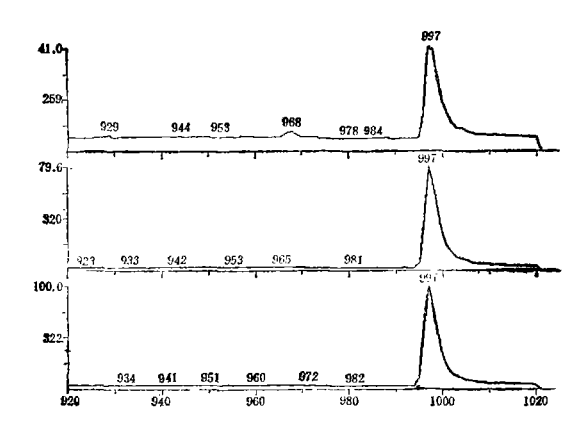


图 3 2、3、7、8-T₄CDD 的多离子检测质量色谱图

式中, *C*(s)—样品中 PCDD 和 PCDF 的浓度 (ppb);

 V_{sam} ——样品溶液的最后体积 (μ l);

 $V_{\rm inj}$ ——样品溶液的进样体积 (μ l);

Asam — 样品溶液的响应(面积);

 A_{std} —标准溶液的响应(面积);

 W_{std} ——标准样品的进样量(pg);

 W_{sam} ——样品的重量 $(g)_{o}$

(四)环境样品的测定

处理样品前,加入样品中不存在的 13 C 标记的 7 C DD 和 7 C DD 作为内标,用于监测回收率,保证样品预处理的成功。下述公式用于回收率 7 R 的计算:

$$R = \frac{V_{\text{sam}}}{V_{\text{ini}}} \times \frac{A(1)}{A(E1)} \times \frac{W(E1)}{W(1)}$$

式中, V_{sam} 和 V_{ioj} — 样品溶液的最后体积和进样体积;

A(I)——样品测定中内标的响应(面积):

A(EI)——响应因子测定中内标的响应(面积);

W(EI)——响应因子测定中内标的 进样量 (pg);

W(I)——提取样品前加入的内标量 (pg)。

经回收率 R 校正的样品测定值为:

$$C = C(s)/R$$

	回收率(%)		T.CDE	T.CDD	P CDF	P.CDD	H.CDF	H.CDD	H-CDF	H.CDD	O.CDF	O,CDD
	¹³C-T₄CDD	¹³ C-O ₈ CDD							,			
1	98	92	156	57	186	264	223	339	157	20 7	46	232
2	89	85	140	38	174	238	278	284	3 7 4	1324	141	25
3	80	96	203	83	275	323	820	1021	430	1183	156	1382
4	91	101	191	103	256	620	568	1537	631	1864	43	820

表 1 环境样品的测定结果 (ppb)

一般讲内标回收率可以达到80%以上。

表 1 给出了部分环境样品的测定结果。 图 4 和 5 为飞灰样品的总离子色谱图和 T₄CDD 的质量色谱图。

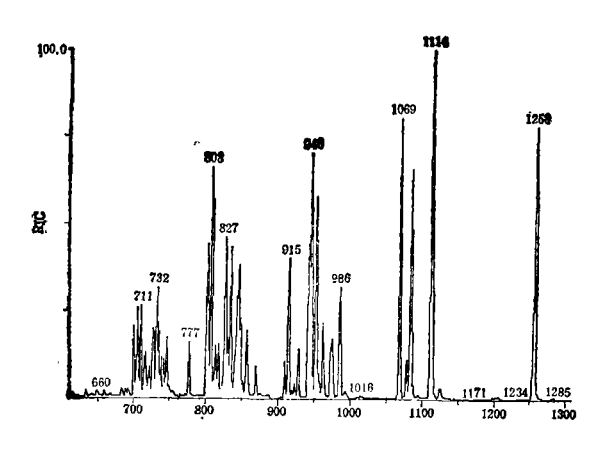


图 4 飞灰样品中的 PCDD 和 PCDF 的总离子色谱图

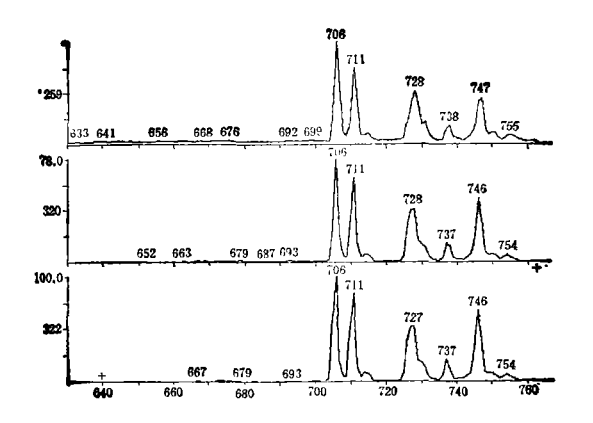


图 5 飞灰样品中 T₄CDD 的多离子 检测质量色谱图

二、讨论

(一)城市垃圾焚烧过程中,除形成PCDD和PCDF外,燃烧产物还有氯苯、氯酚和多氯联苯等,这些化合物以及部分农药和代谢物及邻苯二甲酸酯类化合物会干扰PCDD和PCDF的测定。本方法中的净化柱层析体系可有效地去除这些干扰物:NaOH-硅胶用于去除酚及氯酚类化合物;H2SO4-硅胶可去除脂类及碱性化合物;AgNO4-硅胶的作用在于去除含硫化合物及部分农药和代谢物;碱性氧化铝柱可十分有效地将PCDD和PCDF与PCB、氯苯、部分干扰农药以及邻苯二甲酸酯分离。实验表明这套层析柱体系的净化效果是满意的,与其他净化方法⁶⁶比较,具有简便易行的优点。

- (二)在本分析工作中,采用了一系列的 质量控制措施,以保证分析结果可靠,这些措 施包括:
- 1. 同步进行空白样品(200ml 甲苯)的处理,以保证整个样品操作过程中样品不被污染,如空白样品经测定发现被污染,说明样品预处理操作不合格,应予重复。
- 2. 样品提取前,加人样品中不存在的 "C 标记的 T₄CDD 和 O₈CDD 作为内标,监测 回收率。以保证合格的操作和充分的回收率。
- 3.应用"进样标准"来监测进样的成功和 仪器的正常运转,以保证仪器给出的数据可 信。如"进样标准"(¹³C-H₆CDD)的响应低

于正常值,说明样品溶液被泄漏或仪器运转 不正常。

(三) 环境样品的测定结果,很大程度上依赖于垃圾的构成。发达国家中垃圾内含有大量的塑料制品,它们的燃烧生成了 PCDD和 PCDF。表 1 中所列的结果,与欧美部分国家的垃圾焚烧飞灰中 PCDD和 PCDF的含量接近[7]。

从图 3 和图 4 可知,飞灰中的各 PCDD 和 PCDF 含有较多的异构体。 异构体的分析和鉴定是 PCDD 和 PCDF 分析的发展方向之一,这是由于含相同数目氯原子的 CDD和 CDF 的不同异构体毒性差异极大^[8]。

(四)由于一些 PCDD 和 PCDF 的异构体已被证明具有最高的毒性,因此分析 PCDD 和 PCDF 必须注意防护问题。操作人员必须穿戴专用的工作服及乳胶手套,以

避免任何皮肤接触和吸入体内。

参考 文献

- [1] "Chlorinated Dioxins and Related Compounds",
 Proceedings of the Fourth International Symposium held at Ottawa, Canada, October 16—18
 1984. Chemosphere, 14(6—7) (1985).
- [2] Olie, K., et al., Chemosphere, 6, 454 (1977).
- [3] Lamparski, L. L. and Nestrick, T. J., Anal. Chem., 52, 2045 (1980).
- [4] Buser, H. R., et al., Chemosphere, 7, 109 (1978).
- [5] Buser, H. R., et al., Chemosphere, 7, 417 (1978).
- [6] Tong, H. Y., et al., Anal. Chem., 56, 2442 (1984).
- [7] Choudhary, G., Keith, L. H. and Rappe, C., Chlorinated Dioxins and Dibenzofurans in the Total Environment, pp. 227—244, Butterworth Publishers, Boston-London, 1983.
- [8] Karasek, F. W. and Onuska, F. 1, Anal. Chem. 54, 309A (1982).

模拟酸雨对南方五种土壤理化性质的影响

周修萍 江静蓉 梁 伟 秦文娟 (城乡建设环境保护部南京环境科学所)

酸性降水产生的环境影响已成为全球性 的环境问题。 雨水酸度对生态环境的影响, 特别是对湖泊和土壤植被系统的酸化效应引 起了国内外有关部门的关注。土壤是酸沉降 物的最大接受者,土壤遭受了持续的酸沉降 后,其物理化学性质发生变化,造成土质恶 化,使正常生态系统失去平衡,而且,这种变 化常常是不可逆的。

本文以贵州、四川、广西三省采集的五种 土壤为对象,研究模拟酸雨对土壤理化性质 的影响。

一、材料与方法

土壤样品采自四川、广西、贵州三省区的四个郊区。采样深度为50cm。 土样分层风干后,压碎,经4mm 筛孔及20目、100目筛选,分别保存于样品瓶内,供试验用。在直径为3cm 的塑料圆筒底部塞上带玻璃管的橡皮塞,铺上用塑料网纱缝制的玻璃纤维,以防小土粒被淋出。 根据容重按层次将经过4mm 筛孔的土分层装入筒内,土表再铺上一薄层玻璃纤维。土柱用去离子水浸泡、沥干。